

روشی جامع برای طراحی کنترل کننده PID درجه کسری

مرضیه صفائی^(۱) - سعید حسین‌نیا^(۲) - مجتبی حسینی تودشکی^(۳)

(۱) کارشناس ارشد - دانشکده برق، دانشگاه آزاد اسلامی واحد نجف‌آباد

(۲) استادیار - دانشکده برق، دانشگاه صنعتی اصفهان

(۳) استادیار - دانشگاه جامع علمی - کاربردی

تاریخ دریافت: بهار ۱۳۹۱ تاریخ پذیرش: زمستان ۱۳۹۱

خلاصه: با کاربردی شدن محاسبات درجه کسری و پذیرفتن آن به عنوان یک ابزار محاسباتی قوی، ایده استفاده از این نوع محاسبات در کنترل شکل گرفت. نتیجه این تلاش‌ها برای وارد کردن محاسبات درجه کسری منجر به ارایه نسل جدید کنترل کننده‌های PID با عنوان کنترل کننده درجه کسری $PID^{\lambda}D^{\mu}$ شد، کنترل کننده‌هایی با انعطاف‌پذیری بالاتر، پاسخ بهتر و ناحیه پایداری بزرگ‌تر نسبت به کنترل کننده‌های PID اما طراحی و تحلیل پایداری این کنترل کننده‌ها از پیچیدگی خاصی برخوردار است. در این مقاله روشی مطمئن و ساده برای یافتن مجموعه کنترل کننده‌های $PID^{\lambda}D^{\mu}$ ارایه شده‌است. محاسبات در حوزه فرکانس و بر اساس پاسخ فرکانسی فرآیند صورت می‌پذیرد و ناحیه پایدار با ترسیم مجموعه مرزهای پایداری در فضای پارامترهای کنترل کننده مشخص می‌شود. استفاده از پاسخ فرکانسی سیستم در طراحی، توانایی یافتن مجموعه کنترل کننده‌های درجه کسری را برای دسته وسیعی از سیستم‌ها از جمله سیستم‌های تاخیردار و سیستم‌هایی که فاقدتابع تبدیل دقیقی هستند، مهیا می‌سازد. همچنین با بررسی فضای پایدار حاصل می‌توان مجموعه کنترل کننده‌هایی که حد بهره و حد فاز مشخصی را تامین می‌کنند، به دست آورد.

کلمات کلیدی: محاسبات درجه کسری، کنترل کننده درجه کسری $PID^{\lambda}D^{\mu}$.

۱- مقدمه

سبب شده این کنترل کننده با وجود قدمت و ضعف‌هایش هنوز هم به عنوان کنترل کننده پرکاربرد در صنعت به کار گرفته شود، اما برای این که این کنترل کننده بتواند با انواع کنترل کننده‌های مدرن رقابت کند، باید بتوان آن را ارتقا داد [۲].

یکی از روش‌های پیشنهاد شده برای ارتقای کنترل کننده PID وارد کردن محاسبات درجه کسری به آن بود، یعنی تغییر درجه مشتقگیر و انگلرال‌گیر به اعداد غیر صحیح و تبدیل آن به فرم $PID^{\lambda}D^{\mu}$. این پیشنهاد در سال ۱۹۹۹ توسط Pouzdubny ارایه شد [۳]. این کنترل کننده نسبت به کنترل کننده کلاسیک دارای دو درجه آزادی λ و μ است که سبب ایجاد ناحیه پایداری بزرگ‌تری نسبت به کنترل کننده کلاسیک برای یک فرآیند می‌شود، همچنین به طراح این امکان را می‌دهد تا با آزادی عمل بیشتری پارامترهای کنترل کننده را برای رسیدن به پاسخ مطلوب، تنظیم نماید [۲].

برای طراحی کنترل کننده درجه کسری $PID^{\lambda}D^{\mu}$ روش‌های متعدد وجود دارد. برخی از این روش‌ها مبتنی بر الگوریتم‌های هوشمند همانگونه که می‌دانیم کنترل کننده PID ابزاری استاندارد و انعطاف‌پذیر در اتوماسیون صنعتی محسوب می‌شود. سادگی ساختار، قابل فهم بودن، طراحی و نصب راحت از جمله ویژگی‌هایی است که

سیستم‌های تاخیردار و سیستم‌های درجه غیرصحیح بهره برد. اما روش دوم در بعضی موارد نسبت به روش اول ناچیه پایداری جامعی را ارایه نمی‌دهد و این به خاطر عدم بررسی فرکانس بینهایت در روابط بین پارامترهای کنترل کننده است که در بعضی از موارد سبب محدودیت در مقدار پارامتر می‌شود. همچنین در این مرجع، الگوریتمی برای یافتن مجموعه کنترل کننده‌های درجه کسری ارایه نشده است.

در این مقاله سعی بر این است که با تلفیق دو روش، روشی کارا، ساده و قابل اعتماد ارائه دهیم که هم کلیت و دقت روش اول را داشته باشد و هم سادگی و عمومیت روش دوم. با استفاده از این روش می‌توان مجموعه کنترل کننده‌های PID پایدارساز را برای هر سیستم دلخواه به دست آورد. همچنین می‌توان مقادیر λ و μ که ناچیه پایداری بزرگتری را ایجاد می‌کنند، به دست آورد و ناچیه پایداری را در فضای پارامترهای کنترل کننده (k_p, k_i, k_d) ترسیم کرد.

ساختار مقاله به شرح زیر می‌باشد. در قسمت ۲ به طور مختصر محاسبات درجه کسری معرفی می‌شود. در قسمت ۳ کلیاتی در مورد کنترل کننده PID^{λ} ارایه می‌شود و این کنترل کننده با کنترل کننده PID مقایسه می‌گردد. در قسمت ۴ الگوریتم طراحی کنترل کننده PID^{λ} ارایه شده است. در قسمت ۵ روش پیشنهادی بر روی یک مثال کاربردی پیاده شده است. پیاده سازی با استفاده از نرم افزار MATLAB جعبه ابزار OOCRONE صورت پذیرفته است [۱۱]. در پایان روش پیشنهادی در قسمت ۶ مورد ارزیابی و بررسی قرار می‌گیرد.

۲- محاسبات درجه کسری

محاسبات درجه کسری شامل محاسبه انتگرال و مشتق با درجه غیر صحیح است. این محاسبات حاصل تعمیم اپراتور مشتق و انتگرال درجه صحیح ($D_t^r f(t)$) است که a , حدود اپراتور و R درجه اپراتور است. اپراتور مشتق انتگرال‌گیر ($D_t^r f(t)$) به صورت زیر تعریف می‌شود [۱۲].

$$D_t^r f(t) = \begin{cases} \frac{d^r}{dt^r} & r > 0 \\ 1 & r = 0 \\ \int_a^t (d\tau)^{-r} & r < 0 \end{cases} \quad (1)$$

برای محاسبه مشتق و انتگرال درجه کسری چهار تعریف ارائه شده است. طراح بر حسب کاربرد و خصوصیات هر یک از تعاریف، از بین تعاریف ارایه شده یک تعریف را انتخاب می‌کند [۱۳]. در این مقاله برای آشنایی با نحوه محاسبه مشتق و انتگرال درجه کسری تنها یک تعریف آورده شده است، تعریف caputo به صورت زیر می‌باشد:

$$D_t^r f(t) = \frac{1}{\Gamma(r-n)} \int_a^t \frac{f^{(n)}(\tau)}{(t-\tau)^{r-n+1}} d\tau \quad (2)$$

که در آن $n-1 < r < n$ و n یک عدد صحیح مثبت است. وجود توان منفی زمان در رابطه (۲) بیانگر این است که این روابط ذاتاً دارای حافظه هستند و این مهمترین نقطه قوت محاسبات درجه

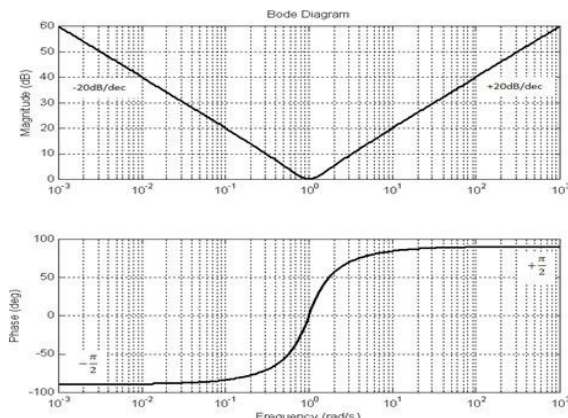
هستند [۴]. در اکثر مراجع مبتنی بر الگوریتم‌های هوشمند برای به دست آوردن مشخصه‌های مورد نیاز تابع هدف، از تقریب درجه صحیح تابع تبدیل درجه کسری استفاده شده است. برخی دیگر از روش‌های طراحی مبتنی بر تعمیم تکنیک‌های طراحی کنترل کننده کلاسیک (PID) هستند. از میان روش‌های ارایه شده برای یافتن مجموعه کنترل کننده‌های کلاسیک تنها دو روش وجود دارد که می‌توان با تعمیم آنها مجموعه کنترل کننده‌های درجه کسری را یافت. در روش اول با استفاده از تابع تبدیل فرآیند و رسم مرز پایداری در فضای پارامترها می‌توان ناچیه پایدار را به دست آورد. این مرزها عبارتند از مرز ریشه حقیقی، مرز ریشه مختلط و مرز ریشه بینهایت. با ترسیم همزمان این خطوط در فضای پارامترهای کنترل کننده و بررسی وضعیت پایداری نقاط محصور در نواحی به دست آمده حاصل از رسم همزمان مرز ریشه‌ها، ناچیه پایدار مشخص می‌شود [۵]. این روش قابل یافتن نواحی پایدار ساز کنترل کننده درجه کسری PID^{λ} و PID^{μ} برای سیستم‌های درجه صحیح و درجه کسری ارایه گردید. با استفاده از این الگوریتم ابتدا برای مقادیر λ و μ مشخص، ناچیه پایدار در فضای پارامترهای کنترل کننده درجه کسری به دست می‌آید. واضح است که مقدار λ و μ بر وسعت ناچیه پایداری تأثیر بسیاری دارد، مراحل الگوریتم به گونه‌ای طراحی شده است که می‌توان مقادیر λ و μ که ناچیه پایداری بزرگتری را ایجاد می‌کنند، به دست آورد [۶]. با این روش می‌توان مجموعه کنترل کننده‌های PID درجه کسری برای سیستم‌های تاخیردار را نیز به دست آورد، اما روابط سیستم‌های تاخیر

دار به مراتب پیچیده‌تر از روابط مرجع [۶] می‌شود [۷].

روش دیگری که برای یافتن مجموعه کنترل کننده‌های PID پایدارساز ارایه شده است، بر پایه استفاده از پاسخ فرکانسی سیستم است. در این روش ناچیه پایدار بر اساس یافتن مقادیری از پارامترها صورت می‌گیرد که سبب پایداری مرزی معادله حلقه بسته سیستم در حوزه فرکانس می‌شود. مزیت استفاده از پاسخ فرکانسی فرآیند این است که از این روش می‌توان برای دسته وسیعی از سیستم‌ها از جمله سیستم‌های تاخیردار بهره بردار. ناچیه پایدار در فضای پارامترهای کنترل کننده (k_p, k_i, k_d) و (k_p, k_i) رسم شده است [۸]. پس از ارایه این روش نیز مقالات بسیاری برای یافتن نواحی با خصوصیات دیگری چون تامین رفتار مقاوم ارایه شد [۹]. این روش قابل تعمیم به محاسبات درجه کسری است. با استفاده از این روش برای مقادیر مشخص λ و μ ، ناچیه پایدار برای سیستم تاخیردار در فضای پارامترهای کنترل کننده درجه کسری ترسیم شده است [۱۰].

با مقایسه دو روش می‌توان گفت روش اول (روش ارایه شده در مرجع [۶]) مطمئن اما دارای محاسبات بسیار پیچیده‌ای است. همچنین برای به دست آوردن روابط بین پارامترها به تابع تبدیل دقیق فرآیند نیاز است. در حالی که روش دوم (روش ارایه شده در مرجع [۱۰]) دارای محاسبات ساده‌تری است و به علت انجام محاسبات بر اساس پاسخ فرکانسی، می‌توان از این روش برای دسته وسیعی از سیستم‌ها از جمله

$PI^{\lambda}D^{\mu}$ نسبت به کنترل کننده PID، می‌توان دیاگرام بد این دو کنترل کننده را با هم مقایسه کرد. دیاگرام بد کنترل کننده PID با ضرایب $k_p = k_i = k_d = 1$ در شکل (۲) رسم شده است. دیاگرام بد کنترل کننده $PI^{\lambda}D^{\mu}$ برای مقادیر $\lambda = \mu = 0.5$ در شکل (۳) رسم شده است [۱].



شکل (۲): دیاگرام بد کنترل کننده PID

Fig. (2): PID controller of Bode diagram

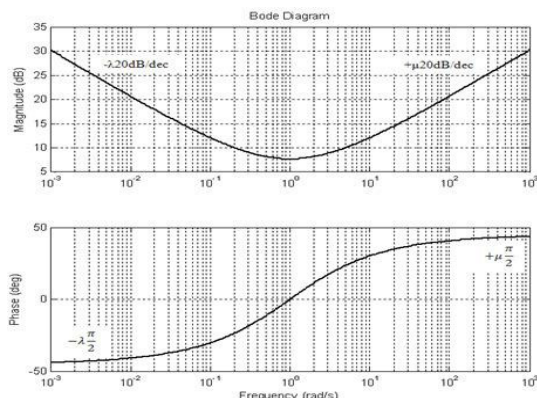
شکل (۳): دیاگرام بد کنترل کننده $PI^{\lambda}D^{\mu}$

Fig. (3): Fractional order of PID controller Bode diagram

با توجه به شکل (۲) و (۳) می‌توان گفت تغییر مقدار λ و μ در تغییر اندازه شیب و فاز کنترل کننده در فرکانس‌های پایین و بالا تاثیر بسیاری دارد. تفاوت این دو کنترل کننده به طور خلاصه در جدول (۱) آمده است.

Table (1): Comparision of PID controller and Fractional Order PID controller

جدول (۱): مقایسه کنترل کننده PID و $PI^{\lambda}D^{\mu}$

$PI^{\lambda}D^{\mu}$	PID	مشخصه
-20λ dB/dec	-20 dB/dec	شیب دامنه در فرکانس پایین
$+20\mu$ dB/dec	$+20$ dB/dec	شیب دامنه در فرکانس بالا
$-\frac{\lambda\pi}{2}$	$-\frac{\pi}{2}$	اندازه فاز در فرکانس پایین
$+\frac{\mu\pi}{2}$	$+\frac{\pi}{2}$	اندازه فاز در فرکانس بالا

کسری نسبت به محاسبات رایج است. همین ویژگی است که سبب توصیف دقیق تر و بهتر پدیده‌های فیزیکی و فرآیندهای می‌شود [۱۲].

همانگونه که می‌دانیم معمولاً برای تحلیل رفتار دینامیکی سیستم ازتابع تبدیل سیستم استفاده می‌شود، بنابراین دانستن تبدیل لaplas مشتق درجه کسری ضروری می‌باشد. یکی از مزیت‌های محاسبات درجه کسری این است که تعریف لaplas آن تقریباً مشابه تبدیل لaplas محاسبات درجه صحیح است. تبدیل لaplas مشتق درجه کسری به صورت زیر می‌باشد:

$$L\left\{ \frac{d^r f(t)}{dt^r} \right\} = s^r F(s) - \sum_{j=0}^{n-1} s^j \left[\frac{d^{r-1-j} f(t)}{dt^{r-1-j}} \right]_{t=0}, n-1 < r < n \quad (3)$$

در صورتی که شرایط اولیه برابر صفر باشد، تبدیل لaplas مشتق و انتگرال درجه کسری مشابه تبدیل لaplas مشتق و انتگرال درجه صحیح با شرایط اولیه صفر خواهد بود [۱۲]. بسیاری از روابط و قوانین موجود در محاسبات رایج، در محاسبات درجه کسری نیز صادق است. از این رو می‌توان گفت محاسبات درجه کسری زیرمجموعه‌ای از محاسبات درجه کسری است.

۳- کنترل کننده درجه کسری $PI^{\lambda}D^{\mu}$

تابع تبدیل کنترل کننده درجه کسری $PI^{\lambda}D^{\mu}$ به فرم زیر می‌باشد.

$$C(s) = \frac{U(s)}{E(s)} = k_p + \frac{k_i}{s^{\lambda}} + \frac{k_d s^{\mu}}{s^{\lambda}}, 0 < \lambda, \mu < 2 \quad (4)$$

کنترل کننده $PI^{\lambda}D^{\mu}$ را می‌توان تعمیم کنترل کننده PID درنظر گرفت. به ازای مقادیر $\lambda = \mu = 1$ ، کنترل کننده درجه کسری $PI^{\lambda}D^{\mu}$ به کنترل کننده PID تبدیل می‌شود. در شکل (۱) فضای کنترل کننده درجه کسری $PI^{\lambda}D^{\mu}$ بر اساس درجه‌های λ و μ ترسیم شده است. همچنین در این شکل حالت‌های خاص λ و μ که منجر به ایجاد کنترل کننده‌های کلاسیک می‌شوند، مشخص شده است.

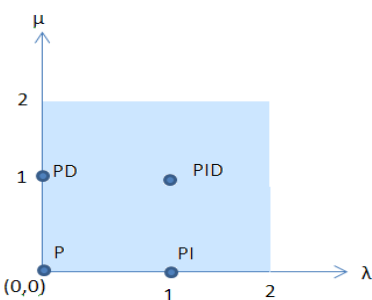
شکل (۱): فضای کنترل کننده درجه کسری $PI^{\lambda}D^{\mu}$

Fig. (1): Fractional order of PID controller's space

وجود دو درجه آزادی λ و μ در کنترل کننده درجه کسری $PI^{\lambda}D^{\mu}$ به آن ویژگی‌های ممتازی افزوده است و آن را به کنترل کننده‌ای با انعطاف‌پذیری بالاتر بخصوص در تامین حد فاز و حد بهره مطلوب، پاسخ بهتر و ناحیه پایداری بزرگ‌تر نسبت به کنترل کننده PID تبدیل کرده است. برای درک بهتر انعطاف‌پذیری و قابلیت‌های کنترل کننده

واضح است که با تغییر پارامترهای کنترل کننده محل ریشه‌های معادله مشخصه تغییر می‌کند. زمانی که ضرایب به صورت پیوسته تغییر کنند، تغییر ناگهانی در محل ریشه‌ها رخ نخواهد داد. از این خصوصیت می‌توان برای یافتن محدوده پارامترها استفاده کرد زیرا زمانی یک چندجمله‌ای پایدار، ناپایدار می‌شود که تغییر ضرایب سبب شود حداقل مکان یک ریشه از ناحیه پایدار (سمت چپ محور $j\omega$) به ناحیه ناپایدار (سمت راست محور $j\omega$) جابجا شود. این اتفاق زمانی رخ می‌دهد که حداقل یک ریشه محور موهومی را قطع کند [۵]. بنابراین با یافتن مقادیری از پارامترها که سبب ضرور شدن معادله مشخصه در محور موهومی می‌شوند، می‌توان مرز پایداری را یافت. در سه وضعیت ممکن است ریشه‌ها محور مومومی را قطع کنند. این سه وضعیت عبارتند از:

- ۱- مرز ریشه حقیقی (RRB²): ممکن است یک ریشه حقیقی محور موهومی را در مبدأ قطع کند، یعنی

$$\Delta(\omega=0, k_p, k_i, k_d, \lambda, \mu) = 0$$

۲- مرز ریشه مختلط (CRB³): ممکن است ریشه‌های مختلط محور موهومی را قطع کنند، یعنی

$$\Delta(j\omega_{0 \rightarrow \infty}, k_p, k_i, k_d, \lambda, \mu) = 0$$

۳- مرز ریشه بی‌نهایت (IRB⁴): ممکن است یک ریشه محور موهومی را در بی‌نهایت قطع کند، یعنی

$$\Delta(\omega=\infty, k_p, k_i, k_d, \lambda, \mu) = 0$$

با ترسیم همزمان مزهای ریشه‌ها، فضای پارامترها به چندین ناحیه افزار می‌شود. برای تعیین ناحیه پایدار کافی است از هر ناحیه، یک نقطه به دلخواه انتخاب کرده و وضعیت آن را از لحظه پایداری بررسی کنیم. در صورتی که نقطه انتخاب شده سبب پایداری سیستم حلقه بسته شود، تمامی نقاط مخصوص در آن ناحیه نیز پایدار هستند، در غیر این صورت ناحیه ناپایدار است. برای تست پایداری از روش ارایه شده در مرجع [۱۴] به کار برده شده است.

با توجه به معادله مشخصه حلقه بسته و تعاریف مرزها، محدوده پارامترها را می‌توان به دست آورد.

مرز ریشه حقیقی با جایگذاری $\omega = 0$ در معادله مشخصه به دست می‌آید و به صورت زیر می‌باشد.

$$k_i = \begin{cases} 0 & , R_p(0) \neq 0 \\ \text{none} & , R_p(0) = I_p(0) = 0 \end{cases} \quad (9)$$

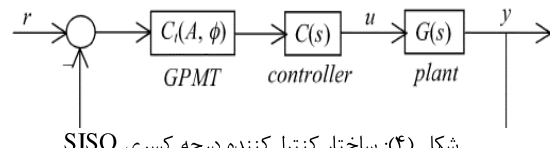
برای به دست آوردن مرز ریشه مختلط، قسمت حقیقی و موهومی معادله مشخصه باید همزمان برابر صفر قرار گیرند. از برابر صفر قرار گرفتن همزمان قسمت حقیقی و موهومی معادله مشخصه، معادلات زیر حاصل می‌شود [۱۰].

$$\begin{cases} \omega^u R_p(\omega) k_p + X_{Ri} k_i + X_{Rd} k_d = -\omega^u \\ \omega^u I_p(\omega) k_p + X_{li} k_i + X_{ld} k_d = 0 \end{cases} \quad (10)$$

روابط ضرایب معادلات به صورت روابط (۱۱) می‌باشند.

۴- طراحی کنترل کننده درجه کسری $PI^{\lambda}D^{\mu}$

سیستم کنترل درجه کسری یک ورودی- یک خروجی فیدبک واحد را مطابق شکل (۴) در نظر بگیرید.



شکل (۴): ساختار کنترل کننده درجه کسری SISO

Fig. (4): A SISO fractional order control system structure

$G(s)$ تابع تبدیل فرآیند با پاسخ فرکانسی به فرم زیر می‌باشد.

$$G(j\omega) = R_p(\omega) + jI_p(\omega) \quad (5)$$

$C(s)$ کنترل کننده درجه کسری $PI^{\lambda}D^{\mu}$ است، پاسخ فرکانسی کنترل کننده به صورت زیر می‌باشد.

$$C(j\omega) = k_p + \frac{k_i}{(\omega)^{\lambda}} + k_d(j\omega)^{\mu} = k_p + \quad (6)$$

$$\frac{k_i}{\omega^{\lambda}} \left\{ \cos\left(\frac{\lambda\pi}{2}\right) - j\sin\left(\frac{\lambda\pi}{2}\right) \right\} + k_d \omega^{\mu} \left\{ \cos\left(\frac{\mu\pi}{2}\right) + j\sin\left(\frac{\mu\pi}{2}\right) \right\}$$

عمولاً برای تأمین حد فاز و بهره از تست حد فاز و بهره GPMT استفاده می‌شود که می‌توان آن به عنوان یک جبرانساز مجازی در نظر گرفت. $C_t(A, \phi)$ دارای تابع تبدیل مستقل از فرکانس است و دارای تابع تبدیلی به فرم زیر می‌باشد [۷].

$$C_t(A, \phi) = Ae^{-j\phi} \quad (7)$$

برای دستیابی به حد فاز و حد بهره مطلوب، کافی است مقادیر تابع تبدیل $C_t(A, \phi)$ به مقادیر دلخواه تغییر یابد. به منظور بررسی پایداری داخلی سیستم حلقه بسته ابتدا باید $A = 1$ در نظر گرفته شود.

برای مشخص کردن مجموعه کنترل کننده‌های درجه کسری پایدارساز باید مقادیر از پارامترهای $\lambda, \mu, k_i, k_d, k_p$ را یافت که سبب پایداری سیستم حلقه بسته شوند. به عبارت دیگر به ازای این مقادیر باید همه ریشه‌های معادله مشخصه سیستم حلقه بسته، سمت چپ محور $j\omega$ قرار گیرند. معادله مشخصه سیستم حلقه بسته در حوزه فرکانس به صورت زیر می‌باشد [۱۰].

$$\Delta(j\omega) = R_{\Delta}(\omega) + jI_{\Delta}(\omega)$$

$$\begin{aligned} R_{\Delta}(\omega) &= 1 + k_p R_p(\omega) \\ &+ \frac{k_i}{\omega^{\lambda}} \left\{ \cos\left(\frac{\lambda\pi}{2}\right) R_p(\omega) + \sin\left(\frac{\lambda\pi}{2}\right) I_p(\omega) \right\} \\ &+ k_d \omega^{\mu} \left\{ \cos\left(\frac{\mu\pi}{2}\right) R_p(\omega) - \sin\left(\frac{\mu\pi}{2}\right) I_p(\omega) \right\} \end{aligned} \quad (8)$$

$$\begin{aligned} I_{\Delta}(\omega) &= k_p I_p(\omega) + \frac{k_i}{\omega^{\lambda}} \left\{ \cos\left(\frac{\lambda\pi}{2}\right) I_p(\omega) - \sin\left(\frac{\lambda\pi}{2}\right) R_p(\omega) \right\} \\ &+ k_d \omega^{\mu} \left\{ \cos\left(\frac{\mu\pi}{2}\right) I_p(\omega) + \sin\left(\frac{\mu\pi}{2}\right) R_p(\omega) \right\} \end{aligned}$$

$$k_p = -k_d \omega^\mu \frac{\sin(\frac{(\mu+\lambda)\pi}{2})}{\sin(\frac{\lambda\pi}{2})} - \frac{R_p(\omega) - \cot(\frac{\lambda\pi}{2}) I_p(\omega)}{|G_p(j\omega)|^2} \quad (15)$$

$$k_i = -k_d \omega^{\mu+\lambda} \frac{\sin(\frac{\mu\pi}{2})}{\sin(\frac{\lambda\pi}{2})} - \frac{\omega^\lambda I_p(\omega)}{\sin(\frac{\lambda\pi}{2}) |G_p(j\omega)|^2}$$

برای k_i ثابت و $\omega \neq 0$ ، روابط k_d و k_p به صورت زیر می‌باشد.

$$k_p = -k_i \frac{\sin(\frac{(\mu+\lambda)\pi}{2})}{\omega^\lambda \sin(\frac{\mu\pi}{2})} - \frac{R_p(\omega) - \cot(\frac{\lambda\pi}{2}) I_p(\omega)}{|G_p(j\omega)|^2} \quad (16)$$

$$k_d = k_i \frac{\sin(\frac{\lambda\pi}{2})}{\omega^{\lambda+\mu} \sin(\frac{\mu\pi}{2})} + \frac{I_p(\omega)}{\omega^\mu \sin(\frac{\mu\pi}{2}) |G_p(j\omega)|^2}$$

مرز ریشه بی‌نهایت زمانی رخ می‌دهد که ریشه‌ای سمت چپ محور موهومی را در بی‌نهایت ترک کند. در روش اول مرز ریشه بی‌نهایت با برابر صفر قرار دادن ضریب بزرگترین درجه معادله مشخصه حلقه بسته در فضای لاپلاس با توجه بهتابع تبدیل فرآیند قابل محاسبه است. اما در روش دوم که بر اساس پاسخ فرکانسی فرآیند صورت می‌گیرد، این فرکانس مورد بررسی قرار نگرفته است. عدم بررسی این حالت سبب نقص در به دست آوردن ناحیه پایدار می‌شود. روش پیشنهادی بر اساس پاسخ فرکانسی فرآیند صورت می‌پذیرد، پس نمی‌توان از روابط روش اول برای یافتن مرز ریشه بی‌نهایت بهره برد. بنابراین برای به دست آوردن مرز ریشه بی‌نهایت نیاز به تعریف رابطه‌ای بر حسب پاسخ فرکانسی فرآیند می‌باشد.

با توجه به تعریف مرز ریشه بی‌نهایت می‌توان به رابطه مورد نظر دست یافتد. منظور از مرز ریشه بی‌نهایت ریشه‌ای است که محور موهومی را در بی‌نهایت قطع کند. چون ریشه محور موهومی را قطع می‌کند، بنابراین باید بخش حقیقی معادله مشخصه برابر صفر باشد. در ضمن این اتفاق در فرکانس بی‌نهایت (فرکانس‌های بالا) رخ می‌دهد. با برابر صفر قرار دادن قسمت حقیقی معادله مشخصه و ساده کردن عبارت‌هایی که به ازای فرکانس بسیار بزرگ برابر صفر می‌شوند، رابطه (۱۷) حاصل می‌گردد.

$$k_d = \frac{-1}{\omega^\mu \left\{ \cos(\frac{\mu\pi}{2}) R_p(\omega) - \sin(\frac{\mu\pi}{2}) I_p(\omega) \right\}} \quad (17)$$

مرز ریشه بی‌نهایت با در نظر گرفتن مقدار بزرگ برای ω و مقدار مشخص μ قابل محاسبه است.

۴-۱- الگوریتم طراحی کنترل کننده درجه کسری $P^{1/\mu} D^\mu$

در این بخش با استفاده از نتایج فوق و با استفاده از الگوریتم موجود در مرجع [۶]، الگوریتمی برای یافتن مجموعه کنترل کننده‌های درجه

$$X_{Ri} = \cos(\frac{\lambda\pi}{2}) R_p(\omega) + \sin(\frac{\lambda\pi}{2}) I_p(\omega)$$

$$X_{Rd} = \omega^{\mu+\lambda} \left\{ \cos(\frac{\mu\pi}{2}) R_p(\omega) - \sin(\frac{\mu\pi}{2}) I_p(\omega) \right\} \quad (11)$$

$$X_{Li} = \cos(\frac{\lambda\pi}{2}) I_p(\omega) - \sin(\frac{\lambda\pi}{2}) R_p(\omega)$$

$$X_{Ld} = \omega^{\mu+\lambda} \left\{ \cos(\frac{\mu\pi}{2}) I_p(\omega) + \sin(\frac{\mu\pi}{2}) R_p(\omega) \right\}$$

با توجه به تعداد معادلات و تعداد مجهولات برای حل دستگاه معادلات باید یکی از پارامترها را ثابت در نظر گرفت. بنابراین پاسخ را می‌توان به سه فرم، در صفحه (k_p, k_d) برای k_i ثابت، در صفحه (k_p, k_i) برای k_d ثابت و در صفحه (k_i, k_d) برای k_p ثابت به دست آورد.

با حل معادلات (۱۰) برای k_p ثابت دو حالت رخ خواهد داد.

حالت اول: در صورتی که $\lambda + \mu \neq 2$ باشد و به ازای فرکانس $\omega \neq 0$ ، روابط (k_i, k_d) به صورت زیر خواهد بود.

$$k_i = -k_p \omega^\lambda \frac{\sin(\frac{\mu\pi}{2})}{\sin(\frac{(\mu+\lambda)\pi}{2})} - \frac{\sin(\frac{\mu\pi}{2}) R_p(\omega) + \cos(\frac{\mu\pi}{2}) I_p(\omega)}{\sin(\frac{(\mu+\lambda)\pi}{2}) |G_p(j\omega)|^2} \\ k_d = -\frac{k_p}{\omega^\mu} \frac{\sin(\frac{\lambda\pi}{2})}{\sin(\frac{(\mu+\lambda)\pi}{2})} - \frac{\sin(\frac{\lambda\pi}{2}) R_p(\omega) - \cos(\frac{\lambda\pi}{2}) I_p(\omega)}{\omega^\mu \sin(\frac{(\mu+\lambda)\pi}{2}) |G_p(j\omega)|^2} \\ |G_p(j\omega)|^2 = R_p^2(\omega) + I_p^2(\omega) \quad (12)$$

حالت دوم: در صورتی که مقدار $\lambda + \mu = 2$ باشد، برای هر فرکانس ω_i که در شرط

$$k_p = \frac{\cot(\frac{\lambda\pi}{2}) I_p(\omega_i) - R_p(\omega_i)}{|G_p(j\omega_i)|^2} \quad (13)$$

صدق کند، رابطه بین پارامترها به صورت معادله یک خط راست خواهد بود و معادله آن به صورت زیر می‌باشد.

$$k_d = \frac{\sin(\frac{\lambda\pi}{2}) R_p(\omega_i) - \cos(\frac{\lambda\pi}{2}) I_p(\omega_i)}{\omega_i^{\mu+\lambda} \left(\sin(\frac{\mu\pi}{2}) R_p(\omega_i) + \cos(\frac{\mu\pi}{2}) I_p(\omega_i) \right)} \\ \times \left(k_i + \frac{\omega_i^\lambda I_p(\omega_i)}{\sin(\frac{\lambda\pi}{2}) |G_p(j\omega_i)|^2} \right) \quad (14)$$

برای k_d ثابت و $\omega \neq 0$ ، روابط k_i و k_p به صورت روابط (۱۵) می‌باشد.

$$G(s) = \frac{T(s)}{\Psi(s)} = \frac{-0.0781 s^{0.5} + 0.1271}{3.0641 s^{1.5} + 0.0305 s + s^{0.5}}$$

با توجه بهتابع تبدیل فرآیند دارای یک صفر سمت راست است بنابراین یک سیستم غیر مینیمم فاز است ابتدا پاسخ فرکانسی فرآیند را در بازه فرکانسی دلخواه به دست آورده و جواب را به دو بخش حقیقی و موهومی تجزیه می کنیم. برای λ , μ و k_p مقادیر ثابت و دلخواه انتخاب کرده و منحنی CRB را به دست می آوریم. فرض کنید $k_p = 100$ و $\lambda = \mu = 1$ (کنترل کننده PID) باشد. (مقادیر را مشابه مرجع [۶] انتخاب شده است تا توان نتایج به دست آمده را مقایسه کرد).

با توجه به رابطه (۱۴) منحنی CRB به صورت زیر می باشد.
 $k_d = 0.2332 k_i + 4.1716$

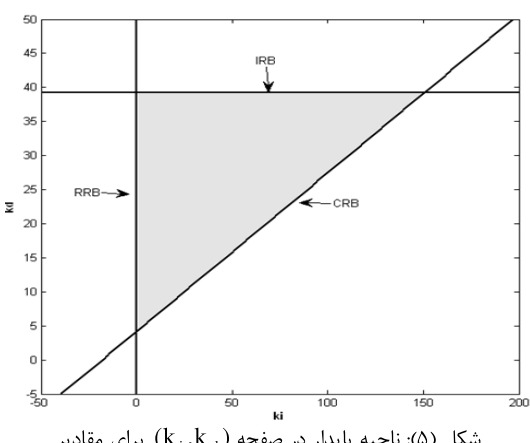
با توجه به رابطه (۹) منحنی RRB به صورت زیر می باشد.
 $k_i = 0$
منحنی IRB را با توجه به رابطه (۱۷) و با در نظر گرفتن مقدار بزرگ برای فرکانس می توان به دست آورد.

$$k_{d_{inf}} = 39.233$$

با توجه به مجموع λ و μ برای به دست آوردن منحنی CRB از روابط (۱۳) و (۱۴) استفاده می کنیم. ابتدا باید فرکانسی را که در رابطه (۱۳) صدق می کند، به دست آوریم.

$$100 = \frac{\cot\left(\frac{\lambda\pi}{2}\right) \cdot I_p(\omega_i) - R_p(\omega_i)}{|G_p(j\omega_i)|^2} \Rightarrow \omega_i = 2.071$$

با رسم همزمان این منحنی ها در فضای (k_i, k_d) نمودار شکل (۵) حاصل می شود. برای یافتن ناحیه پایدار، یک نقطه دلخواه از نواحی به دست آمده را انتخاب می کنیم و وضعیت پایداری آن نقطه را بررسی می کنیم. در شکل (۵) ناحیه پایدار با سایه مشخص شده است.



شکل (۵): ناحیه پایدار در صفحه (k_i, k_d) برای مقادیر $\lambda = \mu = 1$ و $k_p = 100$

Fig. (5): The stability region in the (k_i, k_d) plane for $k_p = 100$, $\lambda = \mu = 1$

کسری پایدارساز که حد فاز و حد بهره مشخصی را تامین می کنند، ارایه می گردد.

برای یافتن مجموعه کنترل کننده های $PI^{\lambda}D^{\mu}$ پایدارساز ابتدا مقادیر $\varphi = 0$ و $A = 1$ در نظر می گیریم. مراحل الگوریتم به صورت زیر می باشد.

گام اول: در یک محدوده فرکانسی مشخص، قسمت حقیقی و موهومی پاسخ فرکانسی فرآیند را به دست آورید.

گام دوم: برای مقدار μ ثابت و دلخواه منحنی RRB و IRB را با توجه به روابط (۹) و (۱۷) به دست آورید.

گام سوم: برای مقادیر λ و k_p ثابت و دلخواه منحنی CRB را در فضای (k_i, k_d) رسم کنید. در صورتی که $\lambda + \mu \neq 2$ باشد، منحنی CRB با استفاده از روابط (۱۲) به دست خواهد آمد و در غیر این صورت این مرز با استفاده از روابط (۱۳) و (۱۴) به دست خواهد آمد.

گام چهارم: CRB، RRB و IRB را هم‌زمان در صفحه (k_i, k_d) رسم کنید.

گام پنجم: محدوده تغییرات پایدار پارامترها را براسن CRB در صفحه (k_p, k_i) و (k_p, k_d) با استفاده از روابط (۱۵) و (۱۶) به دست آورید.

برای مشخص کردن ناحیه پایدار از نواحی به دست آمده نقطه های را به اختیار انتخاب کنید و وضعیت نقطه را از نظر پایداری بررسی کنید.

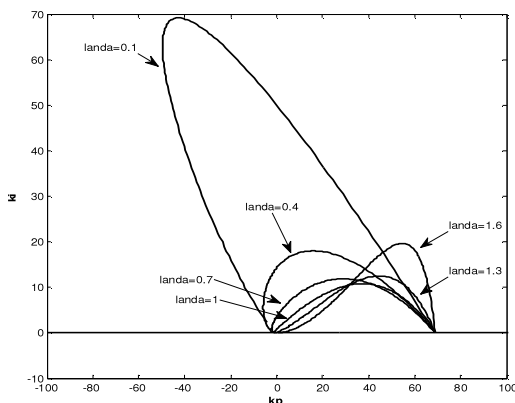
وضعیت نقطه قابل تعیین به تمام نقاط محصور در آن ناحیه است.

گام ششم: یافتن مقادیری از λ و μ که ناحیه پایداری بزرگتری را ایجاد می کنند. برای یافتن این ناحیه از منحنی CRB در صفحه (k_p, k_i) برای k_p ثابت استفاده کنید. با ثابت فرض کردن مقدار λ و تغییر μ در بازه $(0, 2\pi)$ و مشاهده تأثیر آن بر سطح ناحیه پایداری، مقداری از λ را انتخاب کنید که سبب ایجاد ناحیه پایداری بزرگتر می شود و سپس همین مرحله را برای $\lambda = 1$ و μ متغیر انجام دهید. در صورت نزدیک بودن سطح نواحی پایدار به ازای مقادیر مختلف μ از رسم منحنی در صفحه دیگری برای انتخاب مقدار مناسب استفاده کنید.

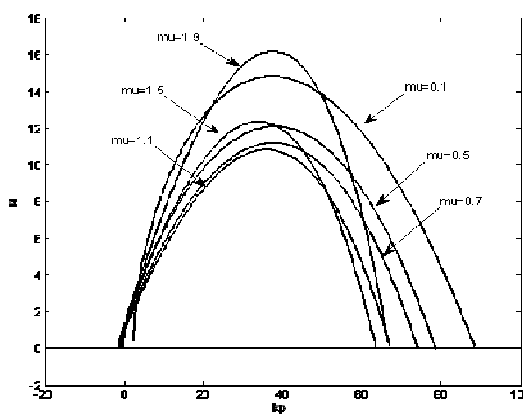
گام هفتم: تمامی نواحی پایدار کنترل کننده را در فضای (k_p, k_i, k_d) برای مقادیر λ و μ به دست آمده از مرحله قبل به دست آورید. برای دستیابی به حد فاز و حد بهره دلخواه کافی است مقادیر تابع تبدیل $C_p(A, \varphi)$ به مقادیر دلخواه تغییر یابد. با دنبال کردن روش زیرمجموعه های از فضای پایدار به دست می آید که سمت به مفتوح آلمینیومی اعمال می شود [۱۵]. تابع تبدیل سیستم که نسبت به دمای خروجی به شار گرمای ورودی است به صورت زیر می باشد:

۵- بررسی یک مثال کاربردی

با استفاده از کنترل کننده درجه کسری $PI^{\lambda}D^{\mu}$ می خواهیم دمای مفتوح آلمینیومی را کنترل کنیم. مفتول آلمینیومی از یک سمت محدود و از سمت دیگر نامحدود است و حرارت تنها از یک سمت به مفتوح آلمینیومی اعمال می شود [۱۵]. تابع تبدیل سیستم که نسبت به دمای خروجی به شار گرمای ورودی است به صورت زیر می باشد:

شکل (۸): ناحیه پایدار برای مقادیر متفاوت λ به ازای مقادیر

$$k_d = -5 \quad \mu = 1$$

Fig. (8): The stability region of some λ values
for $k_d = -5, \mu = 1$ شکل (۹): ناحیه پایدار برای مقادیر متفاوت μ به ازای مقادیر

$$k_d = -5, \lambda = 1$$

Fig. (9): The stability region of some μ values
for $k_d = -5, \lambda = 1$

با رسم CRB در صفحه مناسب مانند (k_i, k_d) ، می‌توان مقداری از μ را که سبب ایجاد ناحیه پایداری بزرگتری می‌شود، یافت.

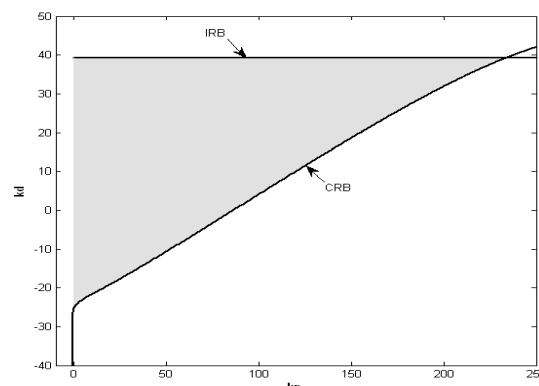
$$\mu = 0.1 \Rightarrow k_{d\inf} = 2.5080 \times 10^{20} \approx \infty$$

$$\mu = 1.9 \Rightarrow k_{d\inf} = 2.5080 \times 10^{-16} \approx 0$$

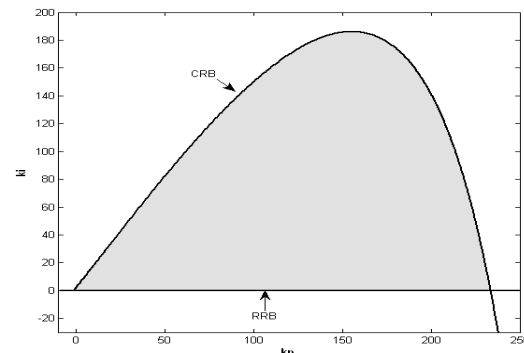
منحنی‌های CRB در صفحه (k_i, k_d) برای $k_p = 10$ در شکل (۱۰) رسم شده‌است.

محدوده پایدار پارامترهای کنترل کننده PID را می‌توان با رسم منحنی CRB در صفحه (k_p, k_d) که به ترتیب در شکل (۶) و (۷) رسم شده‌اند، به دست آورد. با توجه به این شکل‌ها محدوده پایدارساز کنترل کننده PID به صورت زیر می‌باشد.

$$k_p = [-1.233] \quad k_i = [0.186] \quad k_d = [-25.39.233]$$

شکل (۶): ناحیه پایدار در صفحه (k_p, k_d) برای مقادیر

$$k_i = 0, \lambda = \mu = 1$$

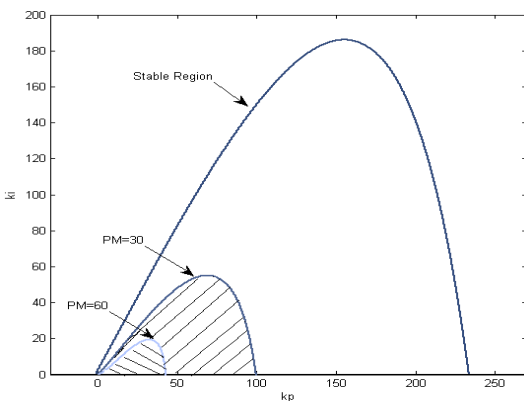
Fig. (6): The stability region in the (k_p, k_d) plane
for $k_i = 0, \lambda = \mu = 1$ شکل (۷): ناحیه پایدار در صفحه (k_p, k_i) برای مقادیر

$$k_d = 39.233, \lambda = \mu = 1$$

Fig. (7): The stability region in the (k_p, k_i) plane
for $k_d = 39.233, \lambda = \mu = 1$

برای یافتن مقدار λ که ناحیه پایداری بزرگتری را ایجاد می‌کند، منحنی CRB را در صفحه (k_p, k_i) برای مقادیر $k_p = -5, k_d = 39.233$ و $\mu = 1$ مقداری مختلف λ رسم می‌کنیم. با توجه به شکل (۸)، $\lambda = 0.1$ ناحیه پایداری بزرگتری ایجاد می‌کند. همین کار را برای یافتن مقدار μ که سبب ایجاد ناحیه پایداری بزرگتری می‌شود، انجام می‌دهیم. با توجه به شکل (۹) به ازای دو مقدار $0.1 \leq \mu \leq 1.9$ ناحیه پایداری بزرگتری ایجاد شده‌است.

مجموعه‌ای از ناحیه پایدار شکل (۷) خواهد آمد که حد فاز مطلوب را تأمین می‌کند. شکل (۱۲) این فضا را نشان می‌دهد.



شکل (۱۲): ناحیه پایدارکننده PID در صفحه (k_p-k_i) برای حد فاز ۳۰ و ۶۰ درجه

Fig. (12): The stability region for phase margin 30 and 60

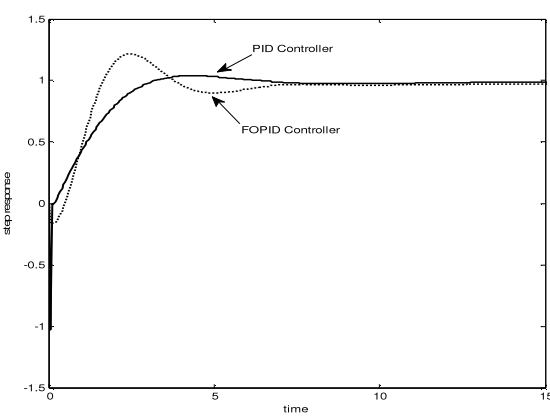
در شکل (۱۳) پاسخ پله سیستم برای دو کنترلکننده PID و $PI^{0.1}D^{0.1}$ با ضرایب بهینه ترسیم شده است. ضرایب بهینه کنترلکننده با استفاده از الگوریتم بهینه سازی فاخته [۱۶] و با تعریف تابع هدفی مشتمل از میزان فراجهش، زمان نشست و خطای ردیابی به دست آمده‌اند. این ضرایب حاصل جستجوی الگوریتم فاخته در فضای پایدار حاصل از هر یک از کنترلکننده‌ها است.

ضرایب کنترلکننده PID به صورت زیر می‌باشند.

$$k_p = 20.08 \quad k_i = 0.67 \quad k_d = 12.96$$

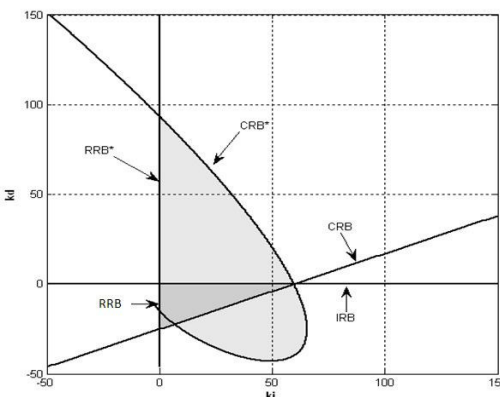
ضرایب کنترلکننده $PI^{0.1}D^{0.1}$ به صورت زیر می‌باشند.

$$k_p = -300 \quad k_i = 130.99 \quad k_d = 212.3315$$



شکل (۱۳): پاسخ پله حلقه بسته سیستم

با توجه به شکل (۱۳) کنترلکننده درجه کسری نسبت به کنترلکننده PID دارای پاسخ پله‌ای با فروجهش کمتر و زمان صعود کمتر است.



شکل (۱۰): ناحیه پایدار در صفحه (k_i, k_d) برای $k_p = 10$

$\lambda = \mu = 0.1$ و RRB^* و CRB^* مربوط به

$\lambda = 0.1$ و $\mu = 1.9$ و IRB و RRB و CRB مربوط به

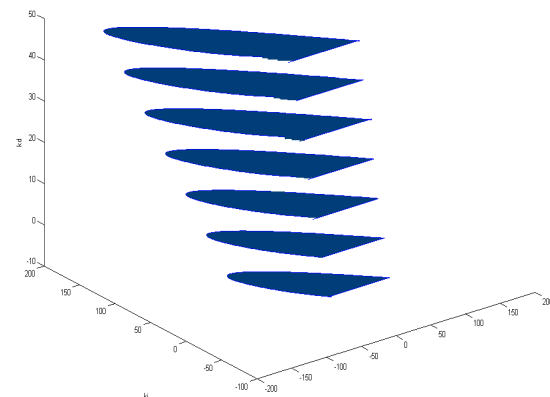
Fig. (10): The stability region in (k_i, k_d) plane for $k_p = 10$

. CRB^* and RRB^* related to $\lambda = \mu = 0.1$

CRB , RRB and IRB related to $\lambda = 0.1$, $\mu = 1.9$

با توجه به شکل (۱۰)، $\lambda = 0.1$ و $\mu = 0.1$ ناحیه پایداری بزرگتری را ایجاد خواهد کرد. محدوده پایدار پارامترهای کنترلکننده برای مقادیر $\lambda = 0.1$ و $\mu = 0.1$ بسیار بزرگ است به گونه‌ای که برای k_i محدودیتی وجود ندارد و برای دو پارامتر دیگر شرایط زیر برقرار است. $k_i \geq 0$ ، $k_d \geq -23.5$

با تغییر مقادیر پارامترها می‌توان مجموعه کنترلکننده‌های پایدارساز $PI^{0.1}D^{0.1}$ را در فضای سه بعدی به دست آورد. در شکل (۱۱) مجموعه کنترلکننده‌های $PI^{0.1}D^{0.1}$ برای بازه محدودی از پارامترها رسم شده است.



شکل (۱۱): مجموعه کنترلکننده‌های پایدارساز

Fig. (11): Set of stabilizer $PI^{0.1}D^{0.1}$ controllers

در صورتی که بخواهیم مجموعه کنترلکننده PID پایدارساز در صفحه (k_p, k_i) برای $k_d = 39.233$ که حد فاز ۳۰ و ۶۰ را تأمین کنند، مشخص کنیم با تغییر مقادیر تابع تبدیل (A, ϕ) به C_i به مقدار تعیین شده تغییر دهیم. برای حد فاز ۳۰ و ۶۰ درجه زیر

می‌توان در فضای به دست آمده از این روش، مجموعه کنترل کننده‌هایی را که حد فاز و حد بهره معینی را تامین می‌کنند، مشخص نمود.

پی‌نوشت:

- 1- Gain-Phase Margin Tester
- 2- Real Root Boundary
- 3- Complex Root Boundary
- 4- Infinit Root Boundary

۷- نتیجه گیری

در این مقاله روشی برای یافتن مجموعه کنترل کننده‌های $PI^{\lambda}D^{\mu}$ ارایه گردید. روش پیشنهادی با به کارگیری روند روش اول و استفاده از نحوه محاسبات روش دوم و همچنین برطرف کردن نقص‌های روش دوم، روشی منسجم، دقیق و مطمئن محاسبه می‌شود. خصوصیت بارز این روش سادگی و عمومیت استفاده از آن بدون ایجاد تغییر در روند الگوریتم برای دسته وسیعی از سیستم‌ها است. همچنین به راحتی

References

- [1] M. Concepción, Y. Chen, B.M. Vinagre, D. Xue ,V. Feliu, "Fractional-order systems and controls: fundamentals and applications", Springer, 2010.
- [2] B. Khalfa, A. Charef. "Control quality enhancement using fractional $PI^{\lambda}D^{\mu}$ controller", Int. Jou. of Sys. Sci., Vol. 40, No. 8, pp. 875-888, 2009.
- [3] I. Podlubny, "Fractional-order systems and $PI^{\lambda}D^{\mu}$ controllers", IEEE Trans. Auto. Cont., Vol. 44, No. 1, pp. 208-214, 1999.
- [4] M. Zamani, N. Sadati, M. Karimi-Ghartemani, "Design of an $H\infty$ PID controller using particle swarm optimization", Int. Jou. of Con., Aut. and Sys., Vol. 7, No. 2, pp. 273-280, 2009.
- [5] N. Tan, K. Ibrahim, Y. Celaleddin, P.A. Derek, "Computation of stabilizing PI and PID controllers using the stability boundary locus", Ene. Con. and Man., Vol. 47, No. 18, pp. 3045-3058, 2006.
- [6] S.E. Hamamci, "Stabilization using fractional-order PI and PID controllers", Nonlinear Dynamics, Vol. 51, No. 1, pp. 329-343, 2008.
- [7] S. Hamamci, "An algorithm for stabilization of fractional-order time delay systems using fractional-order PID controllers", IEEE Trans. Auto. Cont., Vol. 52, No. 10, pp. 1964-1969, 2007.
- [8] S. Sujoldzic, J.M. Watkins, "Stabilization of an arbitrary order transfer function with time delay using a PID controller", IEEE/CDC, pp. 846-851, Dec. 2006.
- [9] T. Emami, J.M. Watkins, "Robust performance characterization of PID controllers in the frequency domain", WSEAS Trans. on Sys. and Con., Vol. 4, No. 5, pp. 232-242, 2009.
- [10] Y.K. Lee, J.M. Watkins, "Determination of all stabilizing fractional-order PID controllers", IEEE/ACC, pp. 5007-5012, 2011.
- [11] R. Malti, P. Melchior, P. Lanusse, A. Oustaloup, "Towards an object oriented CRONE toolbox for fractional differential systems", IFAC, 2011.
- [12] R. Caponetto, "Fractional order systems: modeling and control applications", World Scientific Publishing Company Incorporated, Vol. 72, 2010.
- [13] M.D. Ortigueira, J.T. Machado, J.S. Costa, "Which differintegration? [fractional calculus]", IEE Proc. Vision, Image and Sig. Proc., Vol. 152, No. 6, 2005.
- [14] F. Merrikh-Bayat, M. Karimi-Ghartemani, "An efficient numerical algorithm for stability testing of fractional-delay systems", ISA Trans., Vol. 48, No. 1, pp. 32-37, Jan. 2009.
- [15] J.L. Battaglia, L. Le Lay, J.C. Bastale, A. Oustaloup, O. Cois, "Heat flow estimation through inverted non integer identification models", Int. Jou. of The. Sci., Vol. 39, No. 3, pp. 374-389, 2000.
- [16] R. Rajabioun, "Cuckoo optimization algorithm", Appl. Soft Com., Vol. 11, No. 8, pp. 5508-5518, Dec. 2011.

